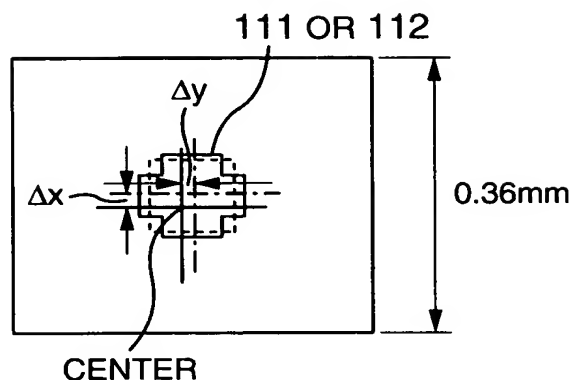
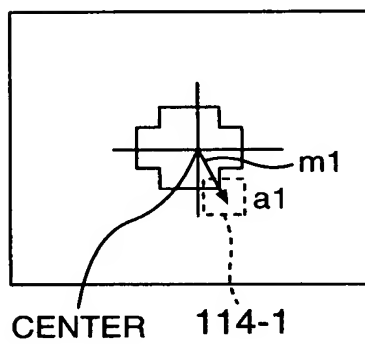
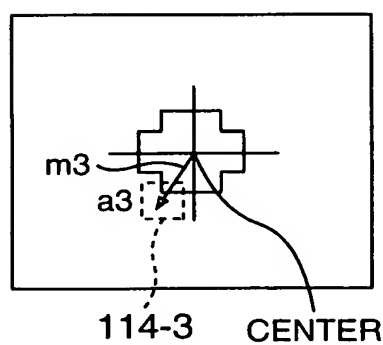
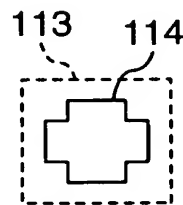
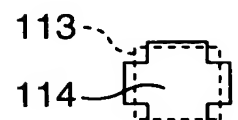
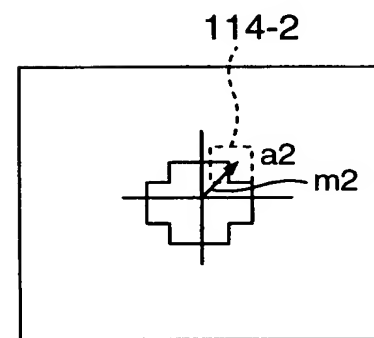
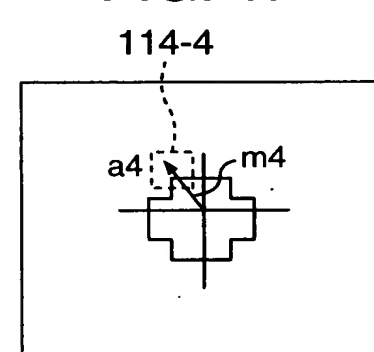
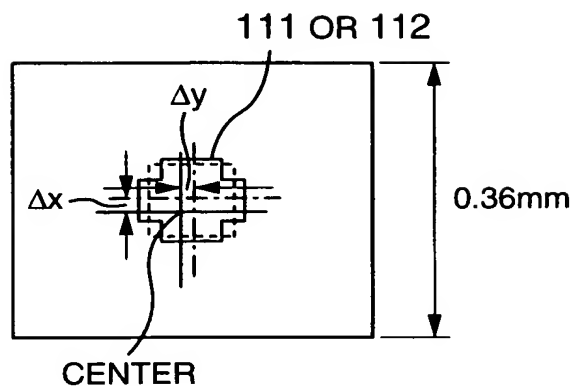


**FIG. 1A****FIG. 1C****FIG. 1E****FIG. 1G****FIG. 1B**

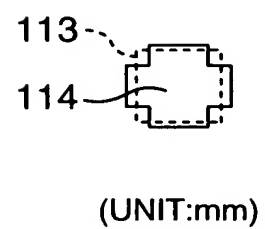
(UNIT:mm)

**FIG. 1D****FIG. 1F**

**FIG. 2A**

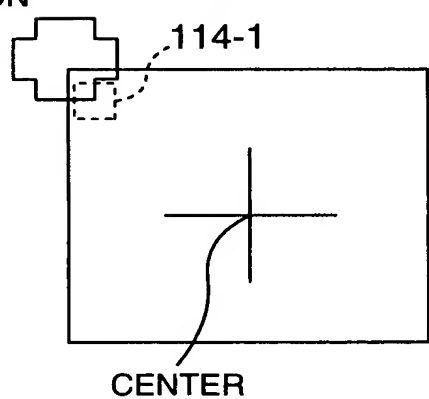


**FIG. 2B**

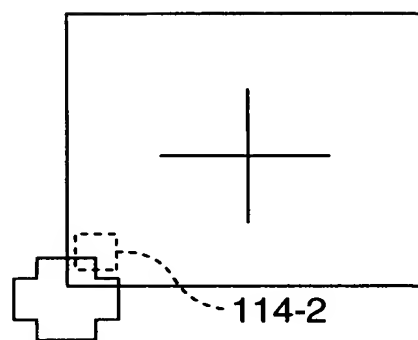


DETECTION

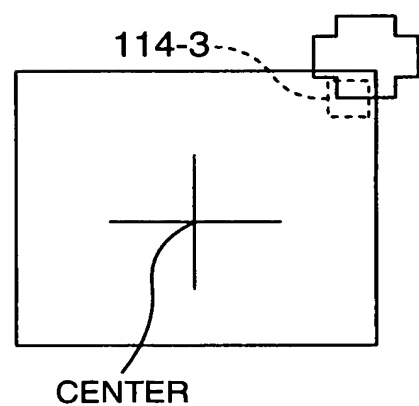
**FIG. 2C**



**FIG. 2D**



**FIG. 2E**



**FIG. 2F**

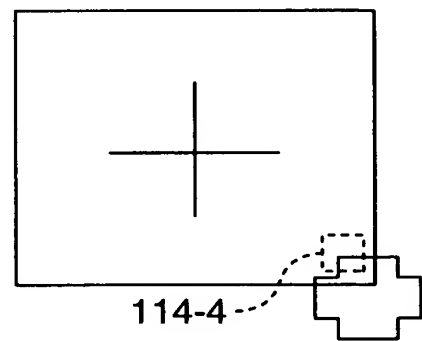


FIG. 3

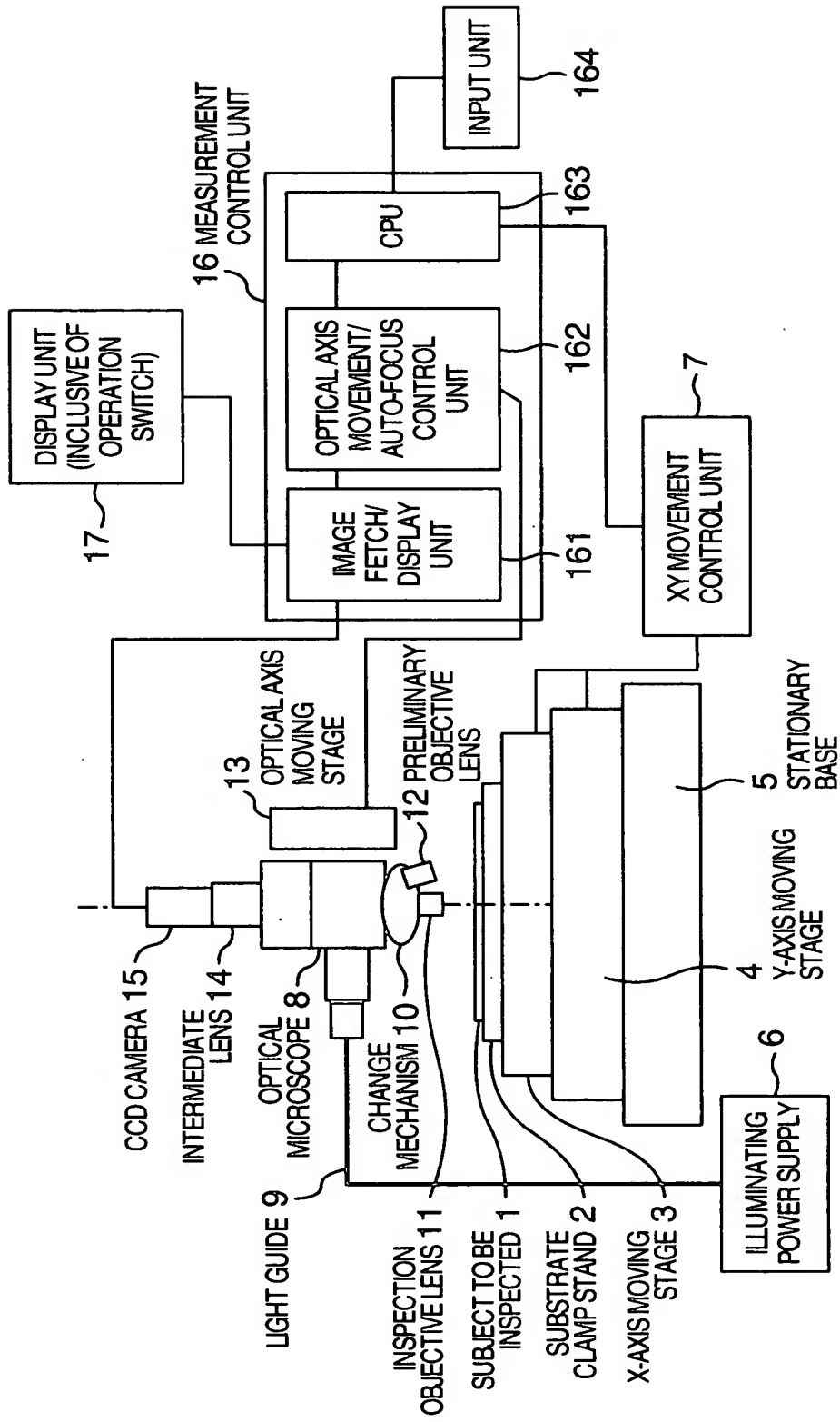
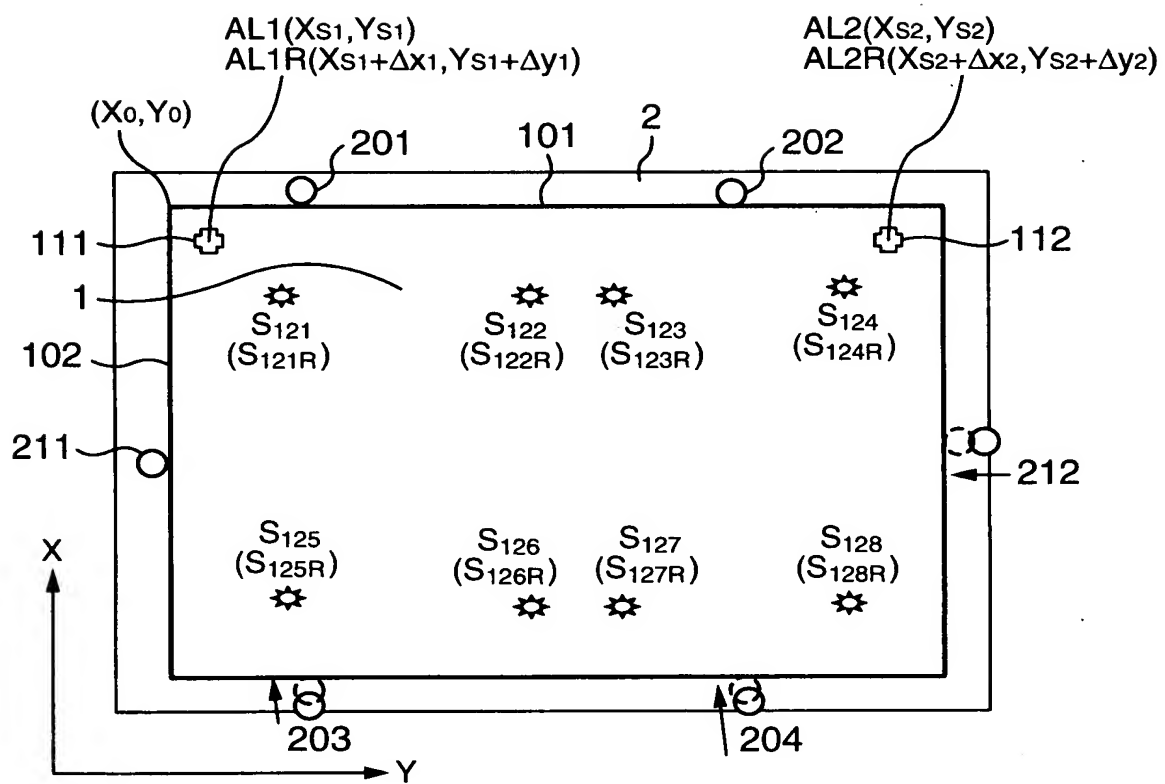
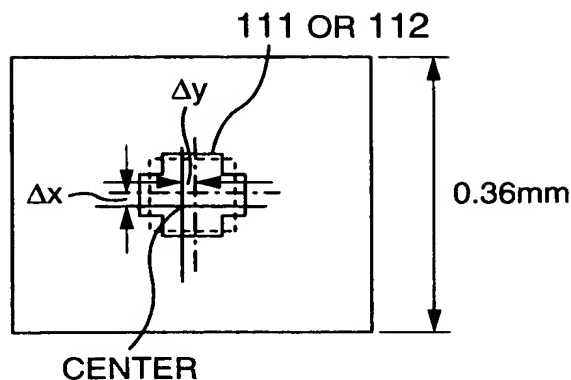


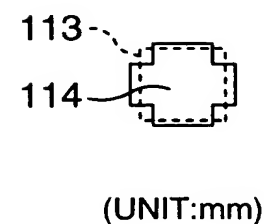
FIG. 4



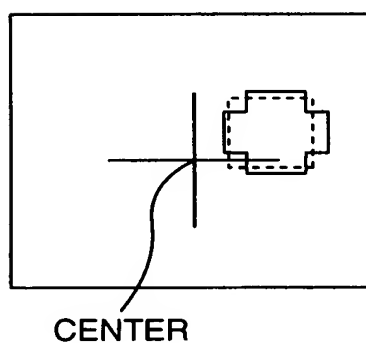
**FIG. 5A**



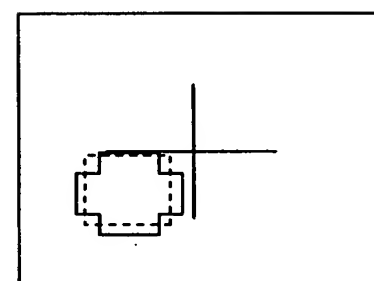
**FIG. 5B**



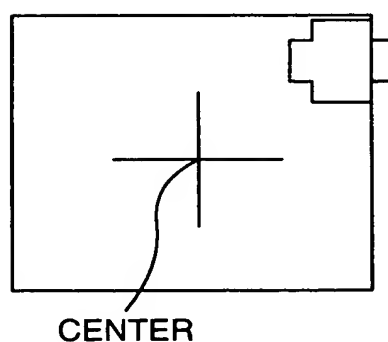
**FIG. 5C**



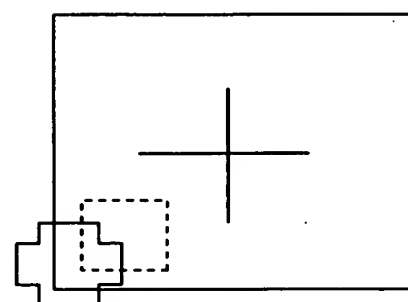
**FIG. 5D**



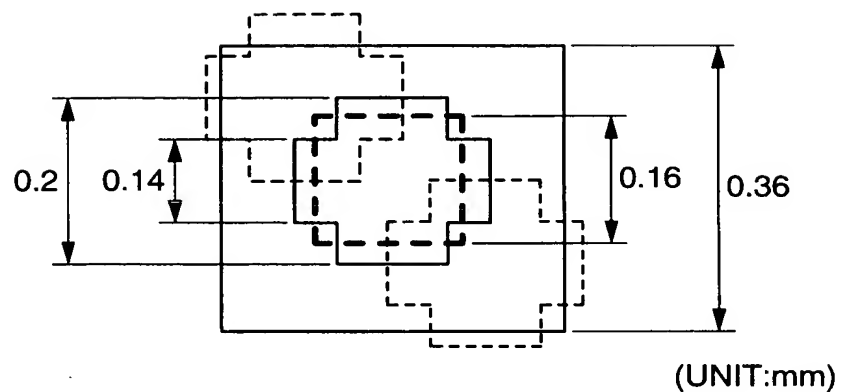
**FIG. 5E**



**FIG. 5F**



**FIG. 6A**  
**PRIOR ART**



**FIG. 6B**

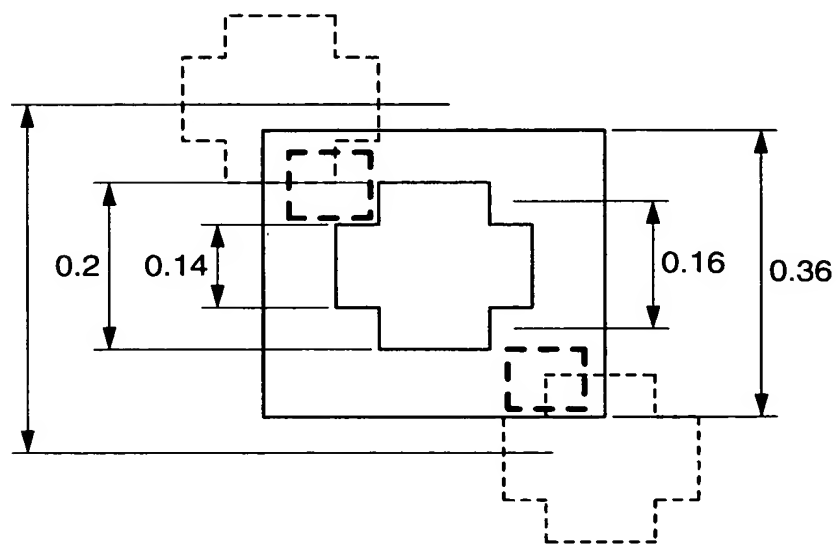
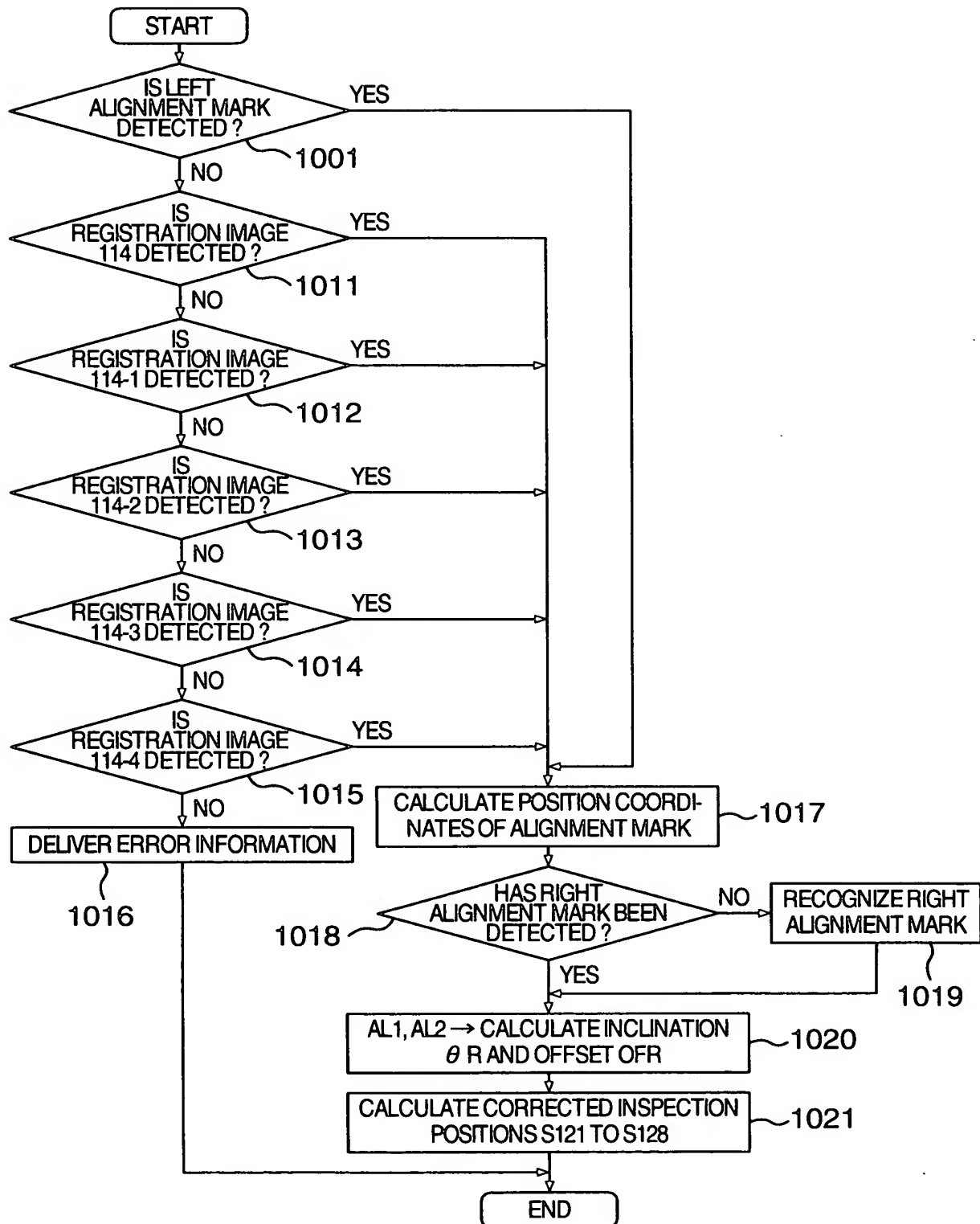
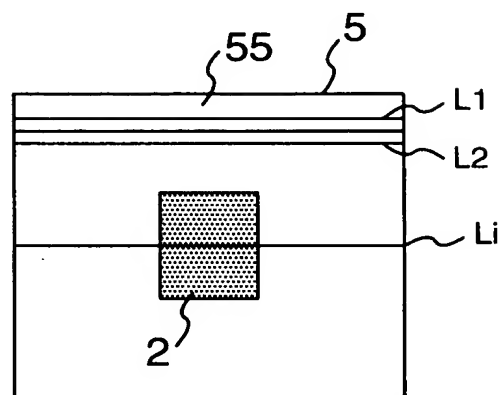


FIG. 7



**FIG. 8**  
**PRIOR ART**



**FIG. 9**  
**PRIOR ART**

